

## پایداری گرمایی و تخریب گرمایی نانو کامپوزیت‌های اپوکسی در حضور نانو ذرات الاستومری

### شبکه‌ای شده

محمدحسین کرمی<sup>۱</sup>، محمدرضا کلایی<sup>۲\*</sup>، رامین خواجه‌ی<sup>۳</sup>، امید مرادی<sup>۴</sup>، داود زارعی<sup>۵</sup>

۱ دانشجوی دکتری مهندسی پلیمر، گروه مهندسی پلیمر، دانشگاه آزاد اسلامی واحد تهران جنوب، تهران، ایران

۲ دانشیار، گروه مهندسی پلیمر، دانشگاه آزاد اسلامی واحد تهران جنوب، تهران، ایران

۳ دانشیار، مرکز تحقیقات نانو، دانشگاه آزاد اسلامی واحد تهران جنوب، تهران، ایران

۴ استاد، گروه مهندسی پلیمر، دانشگاه آزاد اسلامی واحد تهران جنوب، تهران، ایران

۵ دانشیار، گروه شیمی، دانشگاه آزاد اسلامی واحد شهر قدس، تهران، ایران

۶ استادیار، گروه مهندسی پلیمر، دانشگاه آزاد اسلامی واحد تهران جنوب، تهران، ایران



در این تحقیق به بررسی پایداری گرمایی و تخریب گرمایی رزین اپوکسی در حضور مقادیر مختلف (۰/۵، ۱/۱، ۰/۰، ۰/۰۵) درصد وزنی از نانو ذرات الاستومری به روش گرما وزن سنجی پرداخته شده است. نتایج مشتق توزین گرمایی نشان داد که در نرخ گرمادهی ثابت، با افزودن مقدار ۰/۰ و ۱ درصد وزنی نانو ذرات الاستومری به رزین اپوکسی، دمای بیشینه تخریب افزایش می‌یابد و مکانیسم تخریب گرمایی رزین اپوکسی و نانو کامپوزیت‌های اپوکسی به صورت تک مرحله ای می‌شود. نمونه نانو کامپوزیت ادرصد، بیشترین دمای بیشینه تخریب را دارد و با افزایش نرخ گرمادهی، دمای ۹۵ درصد کاهش وزن ( $T_g$ ) نمونه‌های رزین اپوکسی خالص و نانو کامپوزیت ۱/۵ درصد، افزایش داشته است و برای نمونه نانو کامپوزیت اپوکسی ۰/۵ و ۱ درصد، این روند درابتدا کاهش و بعد افزایش داشته است. انرژی فعالسازی با مدل‌های سینتیک تخریب، اوگیس، اوزاوا، هوروویتز متغیر، و فرایدمان بررسی شد و نتایج نشان داد که مدل‌های اوگیس و اوزاوا، رفتار مشابه یکدیگر دارند. بررسی منحنی جامع نانو کامپوزیت‌های اپوکسی نشان داد که با افزودن مقدار ۰/۰ و ۱ درصد وزنی نانو ذرات الاستومری به رزین اپوکسی، مکانیسم واکنش تخریب از نوع A4 می‌باشد.

نازدیکی نانو ذرات الاستومری، رزین اپوکسی، آنالیز گرمایی سنجی، تخریب  
گرمایی، پایداری گرمایی

واژگان کلیدی



## Thermal Stability and Thermal Degradation of Epoxy Nanocomposites in the Presence of Full Vulcanized Elastomeric Nanoparticles

M. H. Karami<sup>1</sup>, M. R. Kalaei<sup>1,2\*</sup>, R. Khajavi<sup>1</sup>, O. Moradi<sup>3</sup>, D. Zaarei<sup>1</sup>

1. Department of Polymer Engineering, Faculty of Engineering, South Tehran Branch, Islamic Azad University, Tehran, Iran

2. Nano Research Center, Islamic Azad University, South Tehran Branch, Tehran, Iran

3. Department of Chemistry, Shahre-Qods Branch, Islamic Azad University, Shahre-Qods, Tehran, Iran

### Abstract

In this research, the thermal stability and thermal degradation of epoxy resin in the presence of different amounts (0, 0.5, 11.5) by weight percent of elastomeric nanoparticles have been investigated using Thermal Gravimetric Analysis. The results of derivative thermogravimetric analysis (DTG), showed that at constant heating rate, by adding 0.5 and 1 wt% of elastomeric nanoparticles to the epoxy resin matrix, the maximum degradation temperature increases and the mechanism of thermal degradation of epoxy resin and epoxy nanocomposites was single step. 1% nanocomposite sample showed highest maximum degradation temperature and also with increasing the heating rate, the temperature of 95% degradation ( $T_{95}$ ) of pure epoxy resin and epoxy nanocomposite samples increased. On the other hand, this temperature for 1.5% and 0.5 and 1% nanocomposites was decreased at first and then increased. The activation energy was evaluated with the models of Augis, Ozawa, Horowitz-Metzger, and Friedman, and the results showed that the models of Augis and Ozawa behave similarly to each other. Examination of the master curve of epoxy nanocomposites showed that by adding 0.5 and 1 wt% of elastomeric nanoparticles to the epoxy resin matrix, the degradation reaction mechanism becomes A4.

### Keywords

Elastomeric nanoparticles, Epoxy resin, Thermal gravimetric analysis (TGA), Thermal degradation, Thermal stability

## ۱- مقدمه

در پژوهش قبلی، کلایی و همکاران به بررسی اثر نانو ذرات الاستومری بر خواص فیزیکی و مکانیکی رزین اپوکسی پرداختند [۱۰]. در ادامه تحقیقات، پایداری گرمایی و سینتیک تخریب گرمایی رزین اپوکسی در مقادیر مختلف ( $1/5\text{،}5/1\text{،}10\%$  درصد وزنی) از نانو ذرات الاستومری بررسی شده است. به منظور بررسی سینتیک تخریب، مدل‌های متداول مورد ارزیابی قرار گرفت و بهترین مدل به انتخاب شد. درصد کاهش وزن، دمای بیشینه تخریب و درصد ذغال باقیمانده، انرژی فعالسازی و پایداری گرمایی، و تاثیر نانو ذرات الاستومری بر منحنی جامع (Master curve) رزین اپوکسی پرداخته شد.

## ۲- مواد و تجهیزات

رزین اپوکسی ML-505 بر پایه رزین اپوکسی بیس فنول A و سخت کننده HA-13 پلی آمینی از شرکت مهندسی مکرر مورد استفاده قرار گرفت. در فرآیند تولید این نوع رزین اپوکسی از حالات رقیق شکننده‌ای غیرواکنشگر است. نانو ذرات الاستومری بهمود یافته فوق شبکه ای مورد مصرف از نوع NBR از پژوهشگاه تحقیقاتی SINOPEC Beijing تهیه شد، طبق برگه داده اطلاعات نانو ذرات الاستومری، سایز نانو ذرات کمتر از ۱۰۰ نانومتر با توزیع باریک بوده است.

## ۳- آزمون‌ها

برای مطالعه فرآیند تخریب با استفاده از دستگاه گرما وزن سنجی (TGA) مدل NETZSCH 209F3 آلمان، تحت گاز نیتروژن انجام شد. همچنین آزمون های گرمایی در سرعت‌های گرمادهی  $10\text{،}15\text{،}20$  درجه سانتی گراد بر دقیقه انجام شد. وزن هر نمونه ۵ میلی گرم بود و تا دمای ۷۰۰ درجه سانتی‌گراد گرما داده شد. آزمون میکروسکوپ الکترونی روبشی (SEM)، مدل Vegall Tescan ساخت شرکت جمهوری چک و با ولتاژ  $20\text{ kV}$  بزرگنمایی‌های  $40000$  و  $75000$  گرفته شد.

## ۴- روش آماده سازی نمونه‌ها

در ابتدا برای بدست آوردن روش بهبود اختلاط، مقدار مشخصی از نانو ذرات الاستومری نوع NBR، توسط همزن با سرعت  $2000$  دور/دقیقه با رزین اپوکسی پیش مخلوط شد و بعد از حدود  $20$  دقیقه، مخلوط حاصل در حمام اولتراسونیک قرار داده شد و مجدد  $20$  دقیقه با هموژنایزر با سرعت چرخشی  $10000$  دور/دقیقه مخلوط و بعد از اضافه کردن سخت کننده به مدت  $2$  دقیقه با سرعت  $2000$  دور/دقیقه مخلوط شد. از آنجایی که نمونه‌ها می‌بایست عاری از حباب باشند در مرحله اول (قبل از اضافه شدن سخت کننده) از آون خلا به مدت  $1$  ساعت و در مرحله دوم  $2$  ساعت در دمای  $80$  درجه سانتی گراد استفاده شد.

پودرهای لاتکس شامل ذرات ریز الاستومری که به صورت کامل پخت شده اند را نانو ذرات الاستومری یا (ENP) می‌نامند که اندازه ذرات الاستومری به وسیله اندازه ذرات لاتکس (latex) به خوبی کنترل می‌شود و با استفاده از این فرآیند اندازه ذراتی کمتر از  $100$  نانو متر با توزیع باریک تولید می‌شوند. شبکه ای شدن کامل این نانو ذرات منجر به بهبود پراکنش و در نتیجه افزایش خواص کششی آمیزه‌های پلیمری می‌شود [۱].

رزین اپوکسی، یکی از مهم‌ترین پلیمرهای گرماسخت، که به عنوان چسب، پوشش و ماده زینه برای کامپوزیتها به دلیل مقاومت بسیار خوب در برابر خوردگی و مواد شیمیایی استفاده می‌شود. این رزین در صنایع خودروسازی، قطعات الکتریکی و ساختمانی کاربرد فراوانی دارند و لیکن به دلیل مقاومت ضعیف در مقابل رشد ترک، خواص شکننده‌ای دارد و لذا کاربرد آن را محدود می‌کند، بنابراین افزایش چقرومگی رزین‌های اپوکسی در حضور نانو ذرات پلیمری، یکی از زمینه‌های مورد توجه پژوهشگران است [۲، ۳].

در تحقیقات انجام شده توسط سایر پژوهشگران، افزودن نانو ذرات الاستومری به رزین‌های فنولیک، پلی‌لکتیک اسید، پلی‌وینیل کلراید، و پلی‌پروپیلن بررسی شده و نتایج به دست آمده نشان دهنده بهبود چقرومگی بوده است [۴-۶].

هرچند افزایش خواص مکانیکی رزین‌ها مهم می‌باشد با این حال بررسی خواص گرمایی نیز بسیار مهم است زیرا می‌تواند محدوده دمایی و طول عمر قطعه نهایی را مشخص کند. یکی از روش‌های افزایش خواص گرمایی رزین‌ها، استفاده از نانو ذرات معدنی و آلی می‌باشد، به عنوان مثال مطالعه آنالیز گرما وزن سنجی نمونه نانو کامپوزیت اپوکسی در حضور نانو ذرات اکسید آلومنیوم ( $\text{Al}_2\text{O}_3$ ) در دمای محیط تا  $750$  درجه سانتی‌گراد بررسی شد، نتایج نشان داد دارای دو مرحله تخریب در دمای  $350$  و  $500$  درجه سانتی‌گراد می‌باشد و همچنین با افزودن نانو ذرات آلومنیوم به ماتریس رزین اپوکسی، درصد ذغال باقیمانده نمونه نانو کامپوزیت اپوکسی افزایش می‌یابد و پایداری گرمایی افزایش می‌یابد [۵]. جدای از تاثیر نانو ذرات متداول بر رزین‌ها، اثر نانو ذرات الاستومری نیز مورد مطالعه قرار گرفته است. به عنوان مثال خواص گرمایی رزین فنولیک در اثر حضور نانو ذرات الاستومری بررسی شده و نتایج نشان داده است که با افزودن  $5$  درصد وزنی از نانو ذرات الاستومری NBR دارای گروه کربوکسیل، انرژی فعالسازی به مقدار  $30\text{ kJ/mol}$  افزایش یافته است و همچنین باعث کاهش درجه پخت شده است [۶].

مدلسازی سینتیک تخریب به طور گسترده‌ای به ابزاری اساسی برای مهندسان تبدیل شده است که دوام گرمایی مواد را قبل از به کارگیری در صنعت پیش‌بینی می‌کنند که منجر به کاهش هزینه‌ها و توسعه محصول، هزینه ساخت، زمان و کیفیت محصول طراحی شده می‌شود [۶-۹].

در معادله  $\frac{d\alpha}{dt} = f(\alpha)$  سرعت واکنش تخریب  $k$  به ترتیب برابر با ثابت سرعت واکنش و مدل واکنش که در جدول ۲، آورده شده است [۱۰ و ۱۸].

#### ۴- نتایج و بحث

##### ۱- ریخت‌شناسی رزین اپوکسی و نانو‌کامپوزیت‌های اپوکسی

همان گونه که در تصاویر شکل ۱ مشخص می‌باشد ظاهر نانو ذرات الاستومری شبکه ای شده به صورت شکل کروی بوده و پخش مناسبی را در ماتریس اپوکسی در هر دو درصد ۵٪ و ۱۰٪ نشان می‌دهد، همچنین، افزایش درصد نانو ذرات الاستومری به رزین اپوکسی باعث کلوجه ای شدن می‌شود (شکل ۱).

۲- آنالیز گرما وزن سنجی نانو‌کامپوزیت‌های اپوکسی در شکل ۲، نمودارهای مشتق توزین گرمایی (DTG) بر حسب تغییرات دما برای نانو‌کامپوزیت‌های اپوکسی در حضور مقادیر مختلف نانو ذرات الاستومری (۵٪، ۱۰٪، ۲۰٪)، در سرعت‌های گرما دهی ۱۰، ۱۵ و ۲۰ °C/min، ارایه شده است.

نتایج در شکل ۲، به دو صورت اثر سرعت گرمادهی ثابت و متغیر

جدول ۱: مدل‌های سینتیک تخریب [۱۱-۱۶]

معادله	نام مدل
$K_1(1 - \alpha)^2 + K_2\alpha(1 - \alpha)^2$ (۱)	سیمون- گیلهام

$$\ln\left(\frac{B}{T_m - T_0}\right) = C' + \left(\frac{-Ea}{RT_m}\right) \quad (۲)$$

$$\ln B = C'' + \left(\frac{-Ea}{RT_m}\right) \quad (۳)$$

$$\frac{d\alpha}{dt} = k \cdot (1 - \alpha)^n \quad (۴)$$

$$\frac{d\alpha}{dt} = k\alpha^m \cdot (1 - \alpha)^n \quad (۵)$$

$$\frac{d\alpha}{dt} = (k_1 + k_2\alpha^m) \cdot (1 - \alpha)^n \quad (۶)$$

$$\ln[\ln(1 - \alpha)^{-1}] = \frac{Et}{RT_{Max}^2} \theta \quad (۷)$$

$$\ln \frac{d\alpha}{dt} = \ln A + n \ln(1 - \alpha) - \frac{Ea}{RT} \quad (۸)$$

#### ۳- ارزیابی سینتیک تخریب

معادلات سینتیک تخریب برای ارزیابی و بررسی پایداری گرمایی نانو کامپوزیت‌های اپوکسی استفاده می‌شود [۶]. مدل‌های تجربی بسیاری برای توصیف مدل‌سازی سینتیک تخریب رزین‌های گرمایی سخت بررسی شده اند که مهمترین آنها در جدول ۱، نشان داده شده است. در این معادلات  $\alpha$  درجه تخریب،  $K_1$  و  $K_2$  ثابت‌های سرعت واکنش تخریب و پارامترهای  $n$  درجه واکنش تخریب هستند،  $T_m$ ، دمای بیشینه تخریب،  $R$  ثابت جهانی گازها،  $\beta$  سرعت گرمادهی،  $t$  زمان تخریب و همچنین  $\theta$  در فرمول شماره ۷، برابر با اختلاف دمای بیشینه تخریب است [۱۱-۱۶].

برای محاسبه درجه تخریب ( $\alpha$ ) از فرمول شماره (۹)، استفاده می‌شود.

در این فرمول  $m_i$  جرم در هر زمان،  $m_0$  و  $m_\infty$  به ترتیب برابر با جرم اولیه و جرم نهایی در اثر تخریب گرمایی می‌باشد [۱۷ و ۱۸].

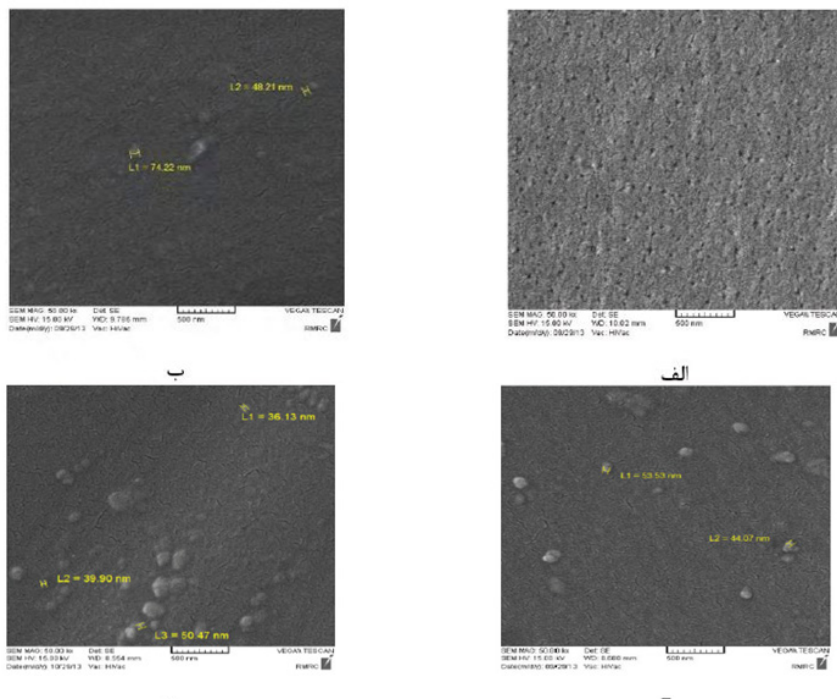
$$\alpha = \frac{m_0 - m_t}{m_0 - m_\infty} \quad (۹)$$

$$\frac{d\alpha}{dt} = k(T) \cdot f(\alpha) \quad (۱۰)$$

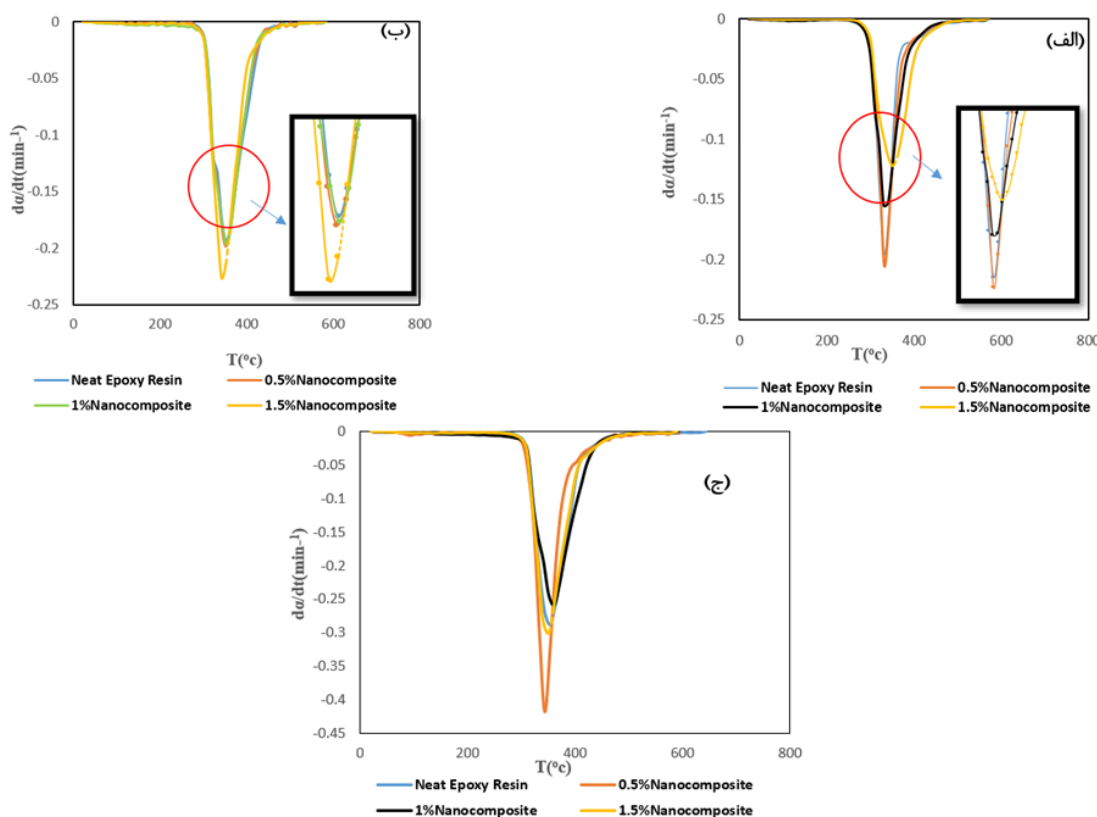
گرمایی می باشد که باعث انجام شدن واکنشهای احتمالی مواد فرار با نمونه های درحال تخریب گرمایی می شوند، همچنین با افزودن  $1/5$  درصد وزنی نانو ذرات الاستومری به رزین اپوکسی خالص بیشینه تخریب در مقایسه با رزین اپوکسی خالص، افزایش می یابد که به دلیل کاهش در سرعت حرکت محصولات فرار ناشی از تخریب

بررسی می شود. در بررسی سرعت گرمادهی ثابت، با افزودن مقدار  $1/5$  درصد وزنی نانو ذرات الاستومری به رزین اپوکسی دمای بیشینه تخریب در مقایسه با رزین اپوکسی خالص، افزایش می یابد که به دلیل کاهش در سرعت حرکت محصولات فرار ناشی از تخریب

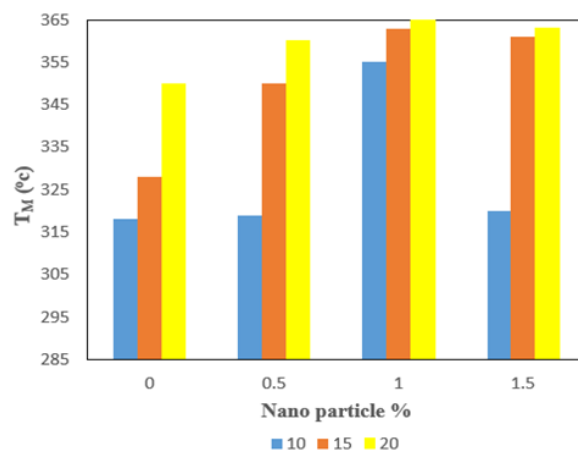
مکانیسم	$f(\alpha)$	$g(\alpha)$	مدل
سینتیک			
A2	$[-\ln(1-\alpha)]^{1/2}$	$2(1-\alpha)[- \ln(1-\alpha)]^{1/2}$	معادله آورامی( $n=2$ )
A3	$[-\ln(1-\alpha)]^{1/3}$	$3(1-\alpha)[- \ln(1-\alpha)]^{2/4}$	معادله آورامی( $n=3$ )
A4	$[-\ln(1-\alpha)]^{1/4}$	$4(1-\alpha)[- \ln(1-\alpha)]^{3/4}$	هسته گذاری و رشد(آورامی)
R2	$[1 - (1-\alpha)^{1/2}]$	$[2(1-\alpha)^{\frac{1}{2}}]$	استوانه ای (Contracting)
R3	$[1 - (1-\alpha)^{1/3}]$	$[3(1-\alpha)^{2/3}]$	کروی (Contracting)
D1	$\alpha^2$	$1/2\alpha^{-1}$	نفوذ یک بعدی
D2	$(1-\alpha)\ln(1-\alpha) + \alpha$	$[-\ln(1-\alpha)]^{-1}$	نفوذ دو بعدی
D3	$[1 - (1-\alpha)^{1/3}]^2$	$[3/2(1-\alpha)^{2/3}][1 - (1-\alpha)^{1/3}]^{-1}$	نفوذ سه بعدی
F1	$-\ln(1-\alpha)$	$(1-\alpha)$	درجه اول
F2	$(1-\alpha)^2$	$(1-\alpha)^{-1} - 1$	هسته گذاری تصادفی
D4	$3/2((1-\alpha)^{-1/3} - 1)$	$1 - (\frac{2\alpha}{3}) - (1-\alpha)^{2/3}$	نفوذ سه بعدی
R1	$\alpha$	1	درجه صفر
هسته گذاری تصادفی			
F3	$[-1 + (1-\alpha)^{-2}]$	$(1-\alpha)^3$	هسته گذاری تصادفی



شکل ۱: تصاویر میکروسکوب الکترونی رویشی (SEM) از نمونه های (الف) اپوکسی خالص (ب). ۰.۵ درصد نانو کامپوزیت اپوکسی (ج). ۱ درصد نانو کامپوزیت اپوکسی (د). ۰.۵ درصد نانو کامپوزیت اپوکسی.



شکل ۲: نمودار های DTG سامانه های رزین اپوکسی و نانو کامپوزیت های اپوکسی در حضور مقدار متفاوت (۰/۵، ۱/۰، ۱/۵) نانو ذرات الاستومری بهینه یافته ، در سرعت های گرمادهی ۲۰ °C/min (ج) و ۱۵ °C/min (ب) و ۱۰ °C/min (الف)



شکل ۳: نمودار دمای بیشینه تخریب و اثر نانو ذرات الاستومری در سرعت های گرمادهی ۱۰ و ۱۵ و ۲۰ °C/min

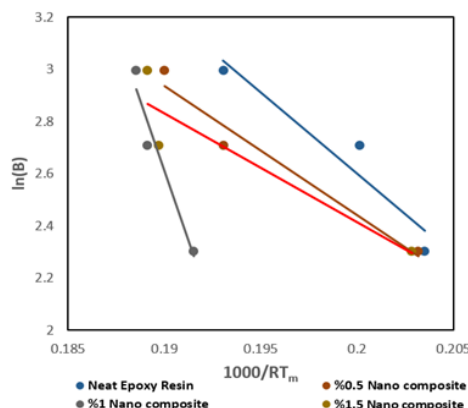
جدول ۳: دمای ۳۰ درصد کاهش وزن ( $T_{30}$ ) و دمای ۹۵ درصد کاهش وزن ( $T_{95}$ )، کامپوزیت های اپوکسی/نانو الاستومر

رزین اپوکسی نانو کامپوزیت ۵/۰ درصد نانو کامپوزیت ۱ درصد نانو کامپوزیت ۱/۵ درصد

	$T_{30}$ [°C]	$T_{30}$ [°C]	$T_{30}$ [°C]	$T_{30}$ [°C]	سرعت گرمادهی (°C/min)
۱۰	۳۴۲ ۴۴۱	۳۴۳ ۴۳۰	۳۴۵ ۴۳۱	۳۴۷ ۴۸۲	۱۰
۱۵	۳۴۴ ۴۳۲	۳۴۵ ۴۲۴	۳۴۵ ۴۲۲	۳۴۷ ۴۲۲	۱۵
۲۰	۳۴۸ ۴۴۰	۳۴۰ ۴۳۱	۳۴۳ ۴۴۳	۳۵۰ ۴۵۳	۲۰

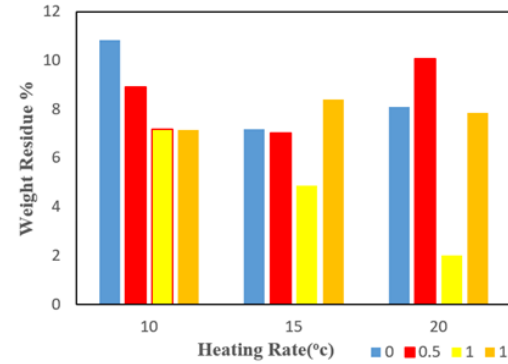
بیشینه تخریب به مقدار ۳۶۳ درجه سانتیگراد را دارد. در جدول ۳، دمای ۳۰ درصد کاهش وزن ( $T_{30}$ ) و دمای ۹۵ درصد کاهش وزن ( $T_{95}$ ) نشان داده شده است.

نتایج جدول ۳ نشان می‌دهد که در سرعت گرمادهی  $^{\circ}\text{C}/\text{min}$  ۱۵، دمای ۳۰ درصد کاهش وزن ( $T_{30}$ ) و دمای ۹۵ درصد کاهش وزن ( $T_{95}$ )، با افزایش درصد وزنی نانو ذرات الاستومری، تعییر چشمگیری ندارد و سیستم رفتاری مشابه رزین اپوکسی خالص دارد. با افزایش سرعت گرمادهی، دمای ۹۵ درصد کاهش وزن دارد. برای نمونه‌های رزین اپوکسی و نانو کامپوزیت اپوکسی ( $T_{95}$ )، برای نمونه‌های رزین اپوکسی و نانو کامپوزیت اپوکسی ۱/۵ درصد افزایش داشته است و برای نمونه نانو کامپوزیت اپوکسی  $^{1/5} / ۰ / ۰$  و ۱ درصد، درابتدا کاهش و سپس افزایش می‌یابد [۲۰]. در شکل ۴، نمودار درصد ذغال باقیمانده نمونه‌های رزین اپوکسی و نانو کامپوزیت‌های اپوکسی با درصد وزنی نانو ذرات الاستومری در دمای ۷۰۰ درجه سانتیگراد نشان داده شده است. همانطور که مشخص است با افزون نانو ذرات الاستومری به رزین اپوکسی، درصد ذغال باقیمانده نمونه‌ها کاهش می‌یابد و این بدان معناست که نانو ذرات الاستومری باعث افزایش سرعت

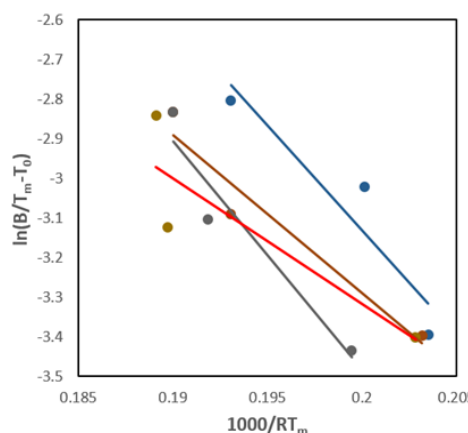


شکل ۵: نمودار مدل اوزوا بر حسب سرعت گرمادهی و تعییرات دما نمونه‌های رزین اپوکسی و نانو کامپوزیت‌های اپوکسی

نانو کامپوزیت به ترتیب افزایش، و کاهش می‌یابد و اما در بررسی دیگر، با افزایش سرعت گرمادهی از  $10^{\circ}\text{C}/\text{min}$  با افزودن نانو ذرات الاستومری به رزین اپوکسی خالص، دمای بیشینه تخریب گرمایی افزایش می‌یابد. با توجه به نمودارهای شکل ۲، تخریب رزین اپوکسی و نانو کامپوزیت‌های اپوکسی دارای یک پیک می‌باشند و این بدان معناست که مکانیسم سیستیک تخریب گرمایی به صورت نک مرحله‌ای می‌باشد [۱۹]. در شکل ۳، نمودار دمای بیشینه تخریب و اثر نانو ذرات الاستومری با تعییرات سرعت گرمادهی نمونه‌های نانو کامپوزیت‌های اپوکسی بررسی شده است. نتایج شکل ۳ نشان می‌دهد در همه نمونه با افزایش سرعت گرمادهی، دمای بیشینه تخریب افزایش می‌یابد اما در نمونه‌های حاوی نانو ذرات الاستومری، افزایش دمای بیشینه تخریب گرمایی بیشتر می‌شود که به دلیل افزایش اتصالات عرضی نانو ذرات کامل شبکه‌ای شده می‌باشد که باعث کاهش حرکت زنجیره‌های رزین اپوکسی و افزایش دمای بیشینه تخریب گرمایی می‌شود. در قسمت‌های بعدی این مقاله، با فرمول حذف اثر سرعت گرمادهی (فرمول ۱۱)، به ارزیابی نقش نانو ذرات الاستومری در رزین اپوکسی در کاهش یا افزایش پایداری گرمایی پرداخته می‌شود و همچنین نمونه نانو کامپوزیت اپوکسی حاوی ۱ درصد وزنی نانو ذرات الاستومری، بیشترین دمای



شکل ۶: نمودار درصد ذغال باقیمانده نمونه‌های رزین اپوکسی و نانو کامپوزیت‌های اپوکسی با درصد‌های وزنی نانو ذرات الاستومری بهبود یافته در دمای ۷۰۰ درجه سانتیگراد



شکل ۷: نمودار مدل اوگیس، نمونه‌های رزین اپوکسی و نانو کامپوزیت‌های اپوکسی

در این فرمول  $T_s$ ، پایداری گرمایی را نشان می دهد. مشخص است که می توان با استفاده از این فرمول بدون اثر سرعت گرمادهی، تاثیر نانو ذرات الاستومری را بر تخریب گرمایی رزین اپوکسی تعیین کرد [۲۳]. دمای پایداری گرمایی نمونه های رزین اپوکسی و نانو کامپوزیت های اپوکسی در حضور  $0/5$  و  $1/5$  درصد وزنی نانو ذرات الاستومری به ترتیب برابر با  $171/27$  و  $170/52$  درجه سانتیگراد می باشد. این نتایج با بررسی درصد وزن ذغال باقیمانده نمونه های رزین اپوکسی و نانو کامپوزیت های اپوکسی مطابقت دارد و بدان معناست که حضور نانو ذرات الاستومری در رزین اپوکسی، باعث افزایش سرعت تخریب گرمایی و کاهش پایداری گرمایی می شود و نمونه نانو کامپوزیت  $1/5$  درصد نسبت به بقیه نمونه ها کاهش بیشتری

تخریب رزین اپوکسی میشود و همچنین در سرعت های گرمادهی  $15$  و  $20$   $^{\circ}\text{C}/\text{min}$ ، با افزودن مقدار  $1/5$  و  $0/5$  درصد نانو ذرات الاستومری به رزین اپوکسی، درصد ذغال باقیمانده افزایش می یابد و پایداری گرمایی نانو کامپوزیت های اپوکسی افزایش می یابد [۲۱].

### ۳-۴- بررسی پایداری گرمایی نانو کامپوزیت های اپوکسی

با استفاده از فرمول شماره (۱۱)، پایداری گرمایی رزین اپوکسی و نانو کامپوزیت های اپوکسی با دمای  $5$  درصد کاهش وزن ( $T_s$ ) و دمای  $30$  درصد کاهش وزن ( $T_{d30}$ ، محاسبه می شود [۲۲].

$$T_s = 0.49(T_{d5} + 0.6(T_{d30} - T_{d5})) \quad (11)$$

جدول ۴: انرژی فالسازی رزین اپوکسی و نانو کامپوزیت های اپوکسی از روش هوروویتز متزر

$R^2$	(kJ/mol) انرژی فالسازی	نمونه	سرعت گرمادهی ( $^{\circ}\text{C}/\text{min}$ )
۰/۹۹	۱۷۴	رزین اپوکسی	
۰/۹۸	۱۸۳	نانو کامپوزیت $0/5$ درصد	۱۰
۰/۹۹	۱۸۶	نانو کامپوزیت $1$ درصد	
۰/۹۹	۱۵۲	نانو کامپوزیت $1/5$ درصد	
۰/۹۷	۱۶۵	رزین اپوکسی	
۰/۹۷	۱۹۰	نانو کامپوزیت $0/5$ درصد	۱۵
۰/۹۶	۱۴۷	نانو کامپوزیت $1$ درصد	
۰/۹۷	۱۹۴	نانو کامپوزیت $1/5$ درصد	
۰/۹۴	۱۶۱	رزین اپوکسی	
۰/۹۶	۱۹۶	نانو کامپوزیت $0/5$ درصد	۲۰
۰/۹۲	۱۱۸	نانو کامپوزیت $1$ درصد	
۰/۹۳	۱۷۱	نانو کامپوزیت $1/5$ درصد	

جدول ۵: انرژی فالسازی رزین اپوکسی و نانو کامپوزیت های اپوکسی از مدل فرایدمان

$R^2$	(kJ/mol) انرژی فالسازی	نمونه	سرعت گرمادهی ( $^{\circ}\text{C}/\text{min}$ )
۰/۹۹	۱۹۰	رزین اپوکسی	
۰/۹۶	۱۷۵/۴۵	نانو کامپوزیت $0/5$ درصد	۱۰
۰/۹۹	۱۷۵/۲۵	نانو کامپوزیت $1$ درصد	
۰/۹۸	۱۶۵/۴۷	نانو کامپوزیت $1/5$ درصد	
۰/۹۵	۱۸۳	رزین اپوکسی	
۰/۹۷	۱۸۵/۶۵	نانو کامپوزیت $0/5$ درصد	۱۵
۰/۹۷	۱۱۱/۴۰	نانو کامپوزیت $1$ درصد	
۰/۹۶	۱۸۱/۷۴	نانو کامپوزیت $1/5$ درصد	
۰/۹۰	۱۶۴/۹۴	رزین اپوکسی	
۰/۹۳	۱۵۲/۶۴	نانو کامپوزیت $0/5$ درصد	۲۰
۰/۹۸	۶۷/۶۷	نانو کامپوزیت $1$ درصد	
۰/۹۱	۱۵۹/۵۴	نانو کامپوزیت $1/5$ درصد	

همچنین برای محاسبه انرژی فعالسازی از مدل اوگیس (Augis) از فرمول شماره ۲، استفاده شد. نتایج در شکل ۶ نشان می‌دهد که مقدار انرژی فعالسازی نمونه رزین اپوکسی برابر با  $52/64$  kJ/mol و نمونه های  $1/5$  و  $1/5$  درصد نانو کامپوزیت به ترتیب برابر با  $39/75$ ،  $33/83$  و  $57/60$  kJ/mol می‌باشند و نتایج به دست آمده از مدل اوگیس رفتار مشابه مدل اوزوا دارد و مدل اوگیس نتایج مدل اوزوا را تایید می‌کند [۲۲].

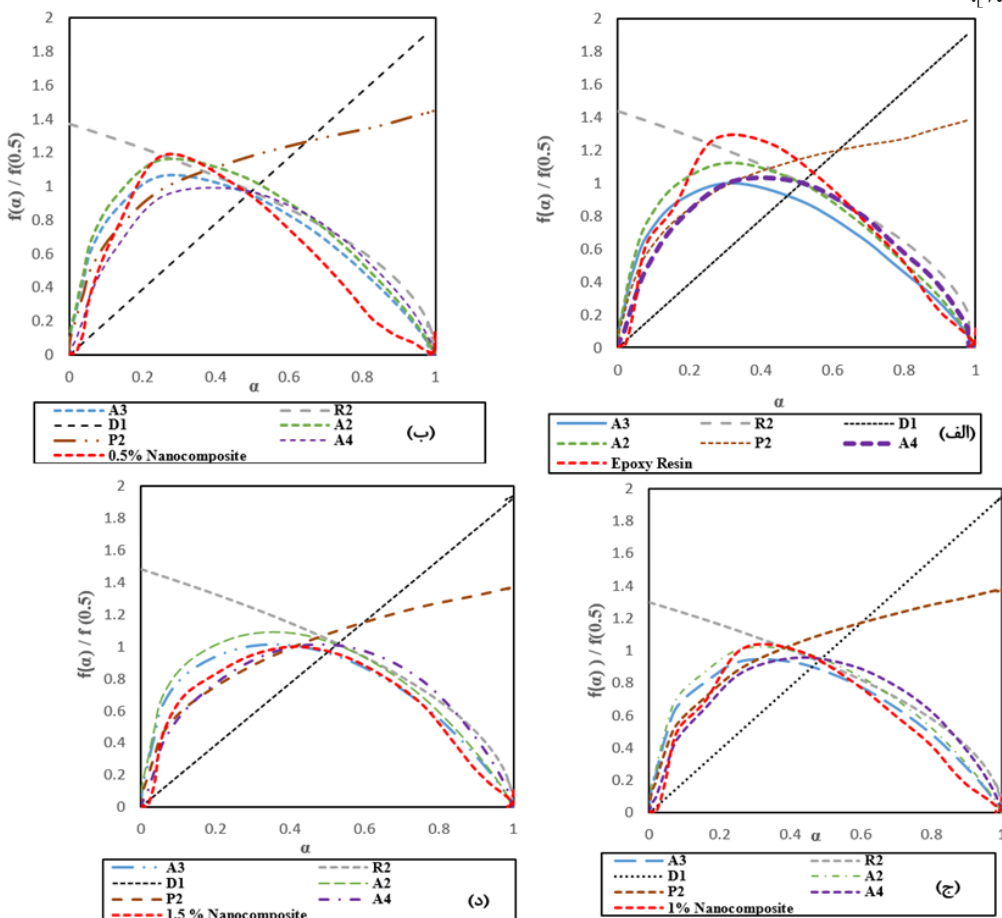
برای بررسی انرژی فعالسازی رزین اپوکسی و نانو کامپوزیت‌های اپوکسی در سرعت‌های گرمادهی  $10$ ،  $15$  و  $20$  °C/min (جدول ۱) استفاده هورووویتز متزگر (Horowitz-Metzger) معادله شماره (۷) استفاده شد [۲۳]. در این روش  $\theta$ ، برابر با اختلاف دمای بیشینه تخریب با دمای تخریب، و  $t$  زمان تخریب می‌باشد. نتایج به دست آمده از این روش در جدول ۴، گزارش شده است.

با توجه به این موضوع که انرژی‌های فعالسازی به دست آمده در این روش در هر سرعت گرمادهی گزارش شده است، این روش با دو مدل ارایه شده قبلی متفاوت است و اثر سرعت گرمادهی برای نمونه‌های رزین اپوکسی و نانو کامپوزیت  $1$  درصد، کاملاً آشکار است و همچنین انرژی فعالسازی نمونه نانو کامپوزیت  $1/5$  درصد

داشته است که احتمالاً به دلیل افزایش درصد وزنی نانو ذرات و کلوخه‌ای شدن ذرات می‌باشد که درجه شبکه‌ای شدن را حین فرآیند پخت کاهش می‌دهد و باعث کاهش پایداری گرمایی و افزایش سرعت تخریب گرمایی می‌شود [۱۸، ۲۴].

#### ۴-۴- بررسی سینتیک تخریب نانو کامپوزیت‌های اپوکسی

به منظور محاسبه انرژی فعالسازی تخریب گرمایی نمونه‌ها از معادله شماره (۳) و جدول ۱، استفاده شده است. شکل ۵، نمودار مدل اوزوا را نشان می‌دهد. انرژی فعالسازی نمونه رزین اپوکسی برابر با  $62/4$  kJ/mol و نمونه های  $1/5$  و  $1/5$  درصد نانو کامپوزیت به ترتیب برابر با  $41/6$  و  $67/37$  و  $49/52$  kJ/mol می‌باشند. نتایج نشان می‌دهد که با افزودن مقدار  $1/5$  و  $1/5$  درصد نانو ذرات الاستومری به ماتریس رزین اپوکسی، انرژی فعالسازی کاهش می‌یابد و با افزودن مقدار  $1$  درصد وزنی نانو ذرات الاستومری، انرژی فعالسازی افزایش می‌یابد و این بدان معناست که برای شروع تخریب گرمایی نمونه نانو کامپوزیت اپوکسی  $1$  درصد، انرژی گرمایی بیشتری نسبت به بقیه نمونه‌ها لازم است [۲۵].



شکل ۷: منحنی جامع نمونه‌های (الف). رزین اپوکسی، (ب). نانو کامپوزیت  $1/5$  درصد و (د). نانو کامپوزیت  $1/5$  درصد (ج). نانو کامپوزیت  $1$  درصد و (ج). نانو کامپوزیت  $1/5$  درصد در سرعت گرمادهی  $10$  °C/min.

از فرمول شماره (۱۲) و جدول ۲، نمودار های جامع (curve) به دست می آید [۲۷، ۲۸].

$$\frac{d\alpha}{dt} = \frac{\exp(-\frac{Ea}{RT})}{\exp(-\frac{Ea}{RT_{\theta=0.5}})} \frac{f(\alpha)}{f(0.5)} = \frac{f(\alpha)}{f(0.5)} \quad (12)$$

در این فرمول  $E_a$ ، انرژی فعالسازی (kJ/mol) و  $f(0.5)$  مدل سینتیکی در درجه تخریب  $1/5$  می باشد و  $d\alpha/dt$ ، سرعت واکنش تخریب ( $s^{-1}$ ) می باشد [۲۷]. در شکل ۷، منحنی جامع نمونه های رزین اپوکسی و نانو کامپوزیت های اپوکسی در سرعت گرمادهی  $10^{\circ}\text{C}/\text{min}$  نشان داده شده است.

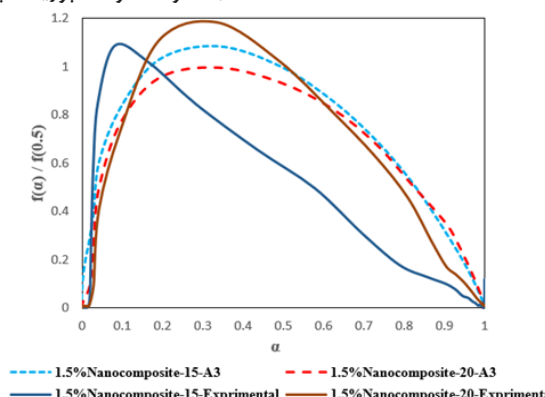
نتایج بررسی منحنی های جامع نشان داد که نمونه رزین اپوکسی در ابتدای واکنش در درجه تخریب  $1/0$  از مکانیسم A4 و در درجه تخریب  $1/6$  از مکانیسم A2 تعیت می کند [۲۹]. با افزودن مقدار  $1/0$  تا  $1/8$  از مکانیسم A2 درصد وزنی نانو ذرات الاستومری به رزین اپوکسی مکانیسم و واکنش تخریب از نوع A4 می باشد و همچنین با افزودن مقدار  $1/5$  درصد نانو ذرات الاستومری، مکانیسم واکنش تخریب گرمایی از درجه تخریب  $1/3$  تا  $1/0$  از نوع A3 می باشد و مشخص است که این مقدار نانو ذره، همپوشانی بیشتری از منحنی جامع نانو کامپوزیت اپوکسی را از مدل آورامی سه بعدی نشان می دهد که به دلیل حضور نانو ذرات الاستومری شبکه ای شده و افزایش درجه شبکه ای شدن در حین فرآیند پخت می باشد [۳۰، ۳۱]. با توجه به توافق داده های آزمایشگاهی نمونه نانو کامپوزیت  $1/5$  درصد با مکانیسم A4، اثر افزایش سرعت های گرمادهی  $15^{\circ}\text{C}/\text{min}$  و  $20^{\circ}\text{C}/\text{min}$  بر این مکانیسم در شکل ۸ نشان داده شده است.

شکل ۸ نشان می دهد که با افزایش سرعت گرمادهی از  $15^{\circ}\text{C}/\text{min}$  به  $20^{\circ}\text{C}/\text{min}$ ، بیشینه درجه تخریب گرمایی نمونه نانو کامپوزیت اپوکسی  $1/5$  درصد، افزایش پیدا می کند و افزایش سرعت گرمادهی باعث توافق بهتر بین داده های آزمایشگاهی و مکانیسم A4 در ابتدای واکنش می شود، و این بدان معناست که برای توصیف بهتر مکانیسم A4 و توافق داده های آزمایشگاهی با نمونه نانو کامپوزیت اپوکسی  $1/5$  درصد، سرعت گرمادهی

بیشترین مقدار را نسبت به دیگر نمونه ها دارد که احتمالاً به علت پراکنش نامناسب نانو ذرات در ماتریس رزین اپوکسی و کلوخه ای شدن باشد که برای شروع واکنش تخریب نیاز به انرژی فعالسازی بیشتری در سرعت گرمادهی  $15^{\circ}\text{C}/\text{min}$  دارد و همچنین کاهش انرژی فعالسازی در بقیه نمونه ها به علت کامل شبکه ای نشدن نانو کامپوزیت های اپوکسی در زمان واکنش پخت می باشد. کمترین مقدار انرژی فعالسازی مربوط به نمونه نانو کامپوزیت اپوکسی ۱ درصد در سرعت گرمادهی  $20^{\circ}\text{C}/\text{min}$  می باشد که نتایج نمودار میله ای شکل ۳، با توجه به کاهش درصد وزن ذغال باقیمانده و افزایش سرعت تخریب، این مطلب را تایید می کند [۲۴]. مدلسازی سینتیک تخریب نمونه های رزین اپوکسی و نانو کامپوزیت های اپوکسی از روش فرایدمن، نشان داد (جدول ۵)، که کمترین مقدار انرژی فعالسازی مربوط به نمونه نانو کامپوزیت اپوکسی ۱ درصد در سرعت گرمادهی  $20^{\circ}\text{C}/\text{min}$  می باشد و نانو کامپوزیت اپوکسی ۱ درصد رفتار مشابه با مدل هوروویتز متزگر را دارد و همچنین بیشترین سرعت تخریب گرمایی در بین نمونه ها برای مقدار ۱ درصد وزنی می باشد [۲۵]. با افزودن نانو ذرات الاستومری به ماتریس رزین اپوکسی، انرژی فعالسازی کاهش می یابد و سرعت تخریب گرمایی افزایش می یابد و همچنین برای نمونه نانو کامپوزیت  $5/0$  درصد در سرعت گرمادهی  $15^{\circ}\text{C}/\text{min}$ ، انرژی فعالسازی افزایش می یابد. این تناقص در دو مدل با توجه به مقدار  $R^2$  مناسب در روش هوروویتز متزگر و مدل فرایدمن بر اساس روش ریاضی مدل های ارایه شده می باشد و مشخص است که روش فرایدمن بر اساس سرعت واکنش تخریب گرمایی ( $d\alpha/dt$ ) می باشد و روش هوروویتز متزگر براساس اختلاف دمای بیشینه محاسبه می شود [۲۶].

#### ۴-۵- بررسی منحنی جامع نانو کامپوزیت های اپوکسی

برای انتخاب مدل مناسب و مقایسه با داده های آزمایشگاهی نمونه های رزین اپوکسی و نانو کامپوزیت های اپوکسی با استفاده



شکل ۸: اثر افزایش سرعت های گرمادهی  $15^{\circ}\text{C}/\text{min}$  و  $20^{\circ}\text{C}/\text{min}$  بر نمونه نانو کامپوزیت  $1/5$  درصد

## ۵- مراجع

- [1] J.Qiao, Elastomeric nano-particle and its applications in polymer modifications, *Polym.Adv Technol.* 3(2020),47-59.
- [2] H.Ma ,G. Wei, Y.Liu , X.Zhang, J.Gao, F.H.B. Tanb, Z.Song, J. Qiao, Effect of elastomeric nanoparticles on properties of phenolic resin, *Polym* .46 (2005),10568-10573.
- [3] M.Zhang, Y.Liu, X.Zhang,J. Gao,F. Huang,Z. Song,G. Wei ,J. Qiao, The effect of elastomeric nano- particles on the mechanical properties and crystallization behavior of polypropylene,*Polym*,43(2002),5133-5138.
- [4] Q.Zhao, Y.Ding, B.Yan,N. Ning, Q. Fu, Highly efficient toughening effect of ultrafine full-vulcanized powdered rubber on poly(lactic acid)(PLA), *Polym. Test.*32(2103), 299-305.
- [5] O.Zabihi, M.Ahmadi, M. Naebe, Self-assembly of quaternized chitosan nanoparticles within nano-clay layers for enhancement of interfacial properties in toughened polymer nanocomposites, *Mater. Des.* 119(2017) 277-289.
- [6] M.H.Chen, C.Y.Ke, C.L.Chiang, Preparation and Performance of Ecofriendly Epoxy/Multilayer Graphene Oxide Composites with Flame-Retardant Functional Groups, *J. Compos. Sci.* 2 (2018),1-16.
- [7] B. Geyer, T.Hundhammer, S.Röhner, G.Lorenz, A. Kandelbauer, Predicting thermal and thermo-oxidative stability of silane-modified clay minerals using thermogravimetry and isoconversional kinetic analysis, *Appl. Clay Sci.* 101(2014), 253-259 .
- [8] D.Puglia, D.Valentini, J. M. Kenny, Analysis of the cure reaction of carbon nanotubes/epoxy resin composites through thermal analysis and Raman spectroscopy, *J. Appl. Polym. Sci.* 88(2003), 452-458.
- [9] A.Aghajani, M.R.Kalaee,S. Mazinani, Physical, Mechanical and Thermal Properties of Epoxy Coatings Modified with Nitrile-Butadiene Nano-rubber, *Adv. Mater.* 7(2019),2036-2047.
- [10] J.Malek, A computer program for kinetic analysis of non-isothermal thermoanalytical data, *Thermo-chim.Acta*. 138 (1989) ,337-346.
- [11] J.Malek, The kinetic analysis of non-isothermal

$10^{\circ}\text{C}/\text{min}$  مناسب تر می باشد و همچنین با افزایش سرعت گرمادهی، سرعت تخریب افزایش می یابد و در سرعت گرمادهی کمتر، میتوان مدل مناسب نمونه نانو کامپوزیت اپوکسی  $1/5$  درصد را مشخص کرد و باید به این نکته توجه داشت که افزایش سرعت گرمادهی بر نمونه های نانو کامپوزیت های اپوکسی در حضور نانو ذرات الاستومری بهبود یافته تاثیر چشمگیری دارد و باعث پیچیده تر شدن پیش بینی مکانیسم واکنش از روش منحنی جامع می شود [۳۹و ۳۸و ۳۲].

## ۵- نتیجه گیری

نتایج نشان داد که در سرعت گرمادهی ثابت با افزودن مقدار  $0/5$  درصد وزنی نانو ذرات الاستومری به رزین اپوکسی خالص، دمای بیشینه تخریب افزایش می یابد و مکانیسم سینتیک تخریب گرمایی به صورت تک مرحله ای می باشد. با افزایش سرعت گرمادهی، دمای بیشینه تخریب رزین اپوکسی و نانو کامپوزیت های اپوکسی افزایش می یابد و نانو کامپوزیت اپوکسی  $1/5$  درصد، بیشترین دمای بیشینه تخریب به مقدار  $363^{\circ}\text{C}$  درجه سانتیگراد را دارد. بررسی درصد دغال باقیمانده تخریب گرمایی نشان داد که با افزودن نانو ذرات الاستومری به رزین اپوکسی ، درصد ذغال باقیمانده کاهش می یابد و این بدان معناست که نانو ذرات الاستومری باعث افزایش سرعت تخریب رزین اپوکسی می شود . در سرعت های گرمادهی  $15^{\circ}\text{C}/\text{min}$  و  $20^{\circ}\text{C}/\text{min}$  با افزودن مقدار  $1/5$  و  $0/5$  درصد نانو ذرات الاستومری به رزین اپوکسی، درصد ذغال باقیمانده افزایش می یابد و پایداری گرمایی نانو کامپوزیت های اپوکسی افزایش می یابد. نتایج مدلسازی سینتیک تخریب نشان داد که مدل های اوگیس واوزوا، رفتار مشابه یکدیگر دارند و همچنین مدل های فراییدمن و هوروویتز متزگر نشان داد که، کمترین مقدار انرژی فعالسازی مربوط به نانو کامپوزیت اپوکسی  $1$  درصد در سرعت گرمادهی  $20^{\circ}\text{C}/\text{min}$  می باشد که کاهش درصد وزن ذغال باقیمانده و افزایش سرعت تخریب گرمایی این مطلب را تایید می کند. با افزودن مقدار  $1/5$  درصد نانو ذرات الاستومری ، مکانیسم واکنش تخریب گرمایی از درجه تخریب  $3/0^{\circ}\text{C}$  تا  $85^{\circ}\text{C}$  از نوع A3 یعنی مدل آورامی سه بعدی می باشد که به دلیل حضور نانو ذرات الاستومری شبکه ای شده و افزایش درجه شبکه ای شدن در حین فرآیند پخت می باشد. افزایش سرعت گرمادهی باعث توافق بهتر بین داده های آزمایشگاهی و مکانیسم A4 (مدل هسته گذاری و رشد) در ابتدای واکنش می شود، و افزایش سرعت گرمادهی بر نمونه های نانو کامپوزیت های اپوکسی تاثیر چشمگیری دارد و باعث پیچیده تر شدن پیش بینی مکانیسم واکنش از روش منحنی جامع می شود.

- data, *Thermochim.Acta.* 200( 1992), 257-269.
- [12] D. Reso, C.N .Cascaval, F.Mustata , C.Ciobanu, Cure Kinetics, Epoxy Resins Studied by Nonisothermal DSC Data, *Thermochim. Acta.* 383(2002) 119-127.
- [13] S. Vyazovkin,A.K. Burnham,L. Favergeon,N. Koga, E.Moukhina, A.Luis,P. Maqueda, N.Sbirrazzuoli, ICTAC Kinetics Committee recommendations for analysis of multi-step kinetics, *Thermochim.Acta.* 689(2020),178597.
- [14] Y.Zhang, K.Y.Rhee, S.J Park, Nanodiamond nanocluster-decorated graphene oxide/epoxy nanocomposites with enhanced mechanical behavior and thermal stability, *Compos. B. Eng.* 114 (2017),111-120.
- [15] Z.Karami, S.M.R. Paran, P.Vijayan, M.R. Ganjali, M.Jouyandeh, A.Esmaeili, S.Habibzadeh, F.J.Stadler ,M.R.Saeb, A Comparative Study on Cure Kinetics of Layered Double Hydroxide (LDH)/Epoxy Nanocomposites, *Compos Sci Technol.* 4(2020),111.
- [16] S. Vyazovkin, A.K. Burnham, J. M. Criado, L. A. P.Maqueda, C. Popescud, N. Sbirrazzuoli, ICTAC Kinetics Committee recommendations for performing kinetic computations on thermal analysis data, *Thermochim. Acta.* 520 (2011), 1-19.
- [17] Z. Nassaj, F. Ravari, I. Danaee , M. Ehsani , Thermal stability, degradation kinetic and electrical properties studies of decorated graphene oxide with CeO<sub>2</sub> nanoparticles-reinforced epoxy coatings, *Fuller. Nanotub. Carbon Nanostructures,* 29(2021), 446-456,
- [18] P. Bari, S.Khan,J.Njuguna, S. Mishra, Elaboration of properties of graphene oxide reinforced epoxy nanocomposites, *Int. J. Plast. Technol.* 21(2017), 194-208.
- [19] F. Ren, G.Zhu, P. Ren, Y.Wang, X. Cui, In situ polymerization of graphene oxide and cyanate ester-epoxy with enhanced mechanical and thermal properties, *Appl. Surf. Sci.* 316(2014), 549-557.
- [20] L.X Gong, L. Zhao, L.C.Tang, H.Y. Liu, Y.W. Mai, Balanced electrical, thermal and mechanical properties of epoxy composites filled with chemically reduced graphene oxide and rubber nanoparticles, *Compos Sci Technol.* 121(2015), 104-114.
- [21] F.Ferdosian, Z.Yuan, M.Anderson, C.C.Xu, Sustainable Lignin-Based Epoxy Resins Cured with Aromatic and AliphaticAmine Curing Agents: Curing Kinetics and Thermal Properties,*Thermochim. Acta.*618( 2015), 48-55.
- [22] J. L. Chen, F. L. Jin, S. J. Park, Thermal stability and impact and flexuralproperties of epoxy resins/epoxidized castor oil/nano-CaCO<sub>3</sub>ternary systems,*Macromol. Res.* 18 (2010), 862-867.
- [23] Y. Fu, W.H. Zhong, Cure kinetics behavior of a functionalized graphitic nanofiber modified epoxy resin, *Thermochim. Acta.* 516 (2011), 58-63.
- [24] E.Esmizadeh, G. Naderi, A. A. Yousefi, C. Milone, Investigation of curing kinetics of epoxy resin/novel nanoclay -carbon nanotube hybrids by non-isothermal differential scanning calorimetry, *J .Therm. Anal Calorim.* 126(2016), 771-784 .
- [25] Ba. Guo, D.Jia, C. Ca, Effects of organo-montmorillonite dispersion on thermal stability of epoxy resin nanocomposites, *Eur. Polym. J.* 40 (2004). 1743-1748.
- [26] N. Kaptan , S. H. Jafari , S. Mazinani , S. Akhlaghi , H. Fazilat , U. W. Gedde , M. S. Hedenqvist , A Naderi , A Monfared, Thermal Behavior and Degradation Kinetics of Compatibilized Metallocene-Linear Low Density Polyethylene/Nanoclay Nanocomposites, *Polym Plast Technol* , 53(2014), 890-902.
- [27] O. Zabihi , A. Omrani , A. A. Rostami, Thermo-oxidative degradation kinetics and mechanism of the system epoxy nanocomposite reinforced with nano-Al<sub>2</sub>O<sub>3</sub>, *J Therm Anal Calorim.*108 (2012) ,1251-1260.
- [28] O. Bianchi, G.B. Repenning, L.B. Canto, R.S. Mauler, R.V.B. Oliveira, Kinetics of thermo-oxidative degradation of PS-POSS hybrid nanocomposite, *Polym. Test.* 32 (2013), 794-801.
- [29] Vi.Pistor, F. G. Ornaghi, H. L. O.Jr,A. J. Zattera, Degradation Kinetic of Epoxy Nanocomposites Containing Different Percentage of Epoxycyclohexyl-POSS, *Polym. Compos.*33( 2012), 1224-1232.
- [30] L. A.P.Maqueda, J. M. Criado, F. J. Gotor, J. Málek, Advantages of Combined Kinetic Analysis of Experimental Data Obtained under Any Heating Profile, *J. Phys. Chem .* 106(2002) , 2862-2868.
- [31].M.H.Karami ,M.R. Kalaee , Review of curing

kinetics of epoxy nanocomposites in the presence of iron oxide nanoparticles, Polymerization,(2021), DOI:10.22063/BASPARESH.2021.2824.1537.

[32] M.H. Karami , M.R.Kalaee ,S. Mazinani ,V.G, R.M.R.Wellen ,A.M. Shanmugharaj ,K. Kim, Iso-conversional Model Approach and Cure Kinetics Of Epoxy/ NBR Nanocomposites, Proceeding of the 14th International Seminar on Polymer Science and Technology (ISPST 2020), Tarbiat Modares University, Tehran, Iran, 9-12 November, (2020),Part4,9-10.

[33] M.H.Karami , M.R.Kalaee , Curing of Epoxy/ UFNBRP Nano Composites Using Calorimetric Method, Proceeding of the 11th International Chemical Engineering Congress & Exhibition (IChEC 2020), Tehran University ,Fouman, Iran, 15-17 April, (2020).

[34] M.H. Karami ,M.R. Kalaee ,S. Mazinani , Chemorheology of Nano acrylonitrile butadiene rubber (n-NBR)/epoxy nanocomposites, Proceeding of the 1st International Conference on Rheology (ICOR), Iran Polymer and Petrochemical Institute, Tehran, Iran, 17-18 December ,(2019) ,104-105.

[35] M.H. Karami ,M.R. Kalaee, Chemorheology of epoxy nanocomposites in the presence of elastomeric nanoparticles, Proceeding of the National Conference on Advanced Technologies in Energy, Water and Environment, Sharif Energy Research Institute, Tehran, Iran,3March, (2021),209-216.

[36] M.H. Karami ,M.R. Kalaee ,Modeling of curing kinetics of epoxy nanocomposites by time sweep method, Proceeding of the National Conference on Advanced Technologies in Energy, Water and Environment, Sharif Energy Research Institute, Tehran, Iran,3March ,(2021),234-241.

[37] M.H. Karami ,M.R. Kalaee, A review of the curing kinetics of epoxy nanocomposites/nano clay, Iran polymer technology, Research and development,6(2021),29-38.

[38] M.H. Karami ,M.R. Kalaee, Review of degradation kinetics of epoxy nanocomposites in the presence of clay nanoparticles, Polymerization,(2021), DOI: 10.22063/BASPARESH.2021.2895.1552.

[39] M.H. Karami ,M.R. Kalaee, A Review Of The Applications Of Cross-linked Elastomeric Nanoparticles, Iranian Rubber Magazine, 25 (2021), 37-56.